

# Triterpenos e Outros Constituintes dos Frutos de *Enterolobium contortisiliquum* (Vell.) Morong (Fabaceae)

Miranda, M. L. D.;\* Garcez, F. R.; Garcez, W. S.

Rev. Virtual Quim., 2015, 7 (6), S1-S11. Data de publicação na Web: 25 de julho de 2015

<http://www.uff.br/rvq>

## MATERIAL SUPLEMENTAR

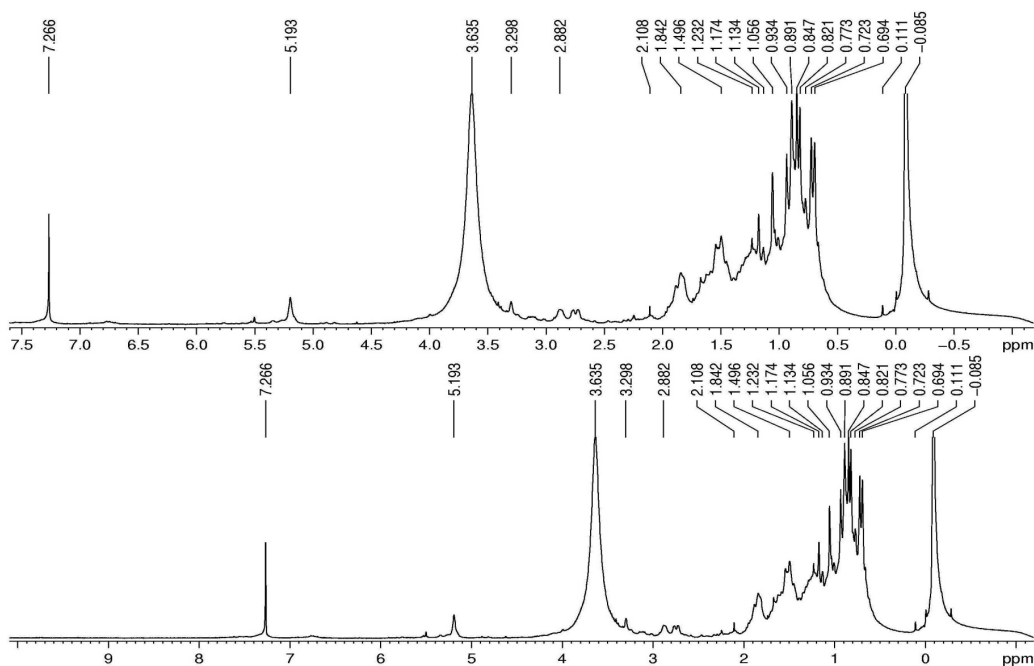


Figura 1S. Espectro de RMN  $^1\text{H}$  ( $\text{CD}_3\text{OD}/\text{CDCl}_3$ , 300 MHz) do composto 1 (ácido maslínico)

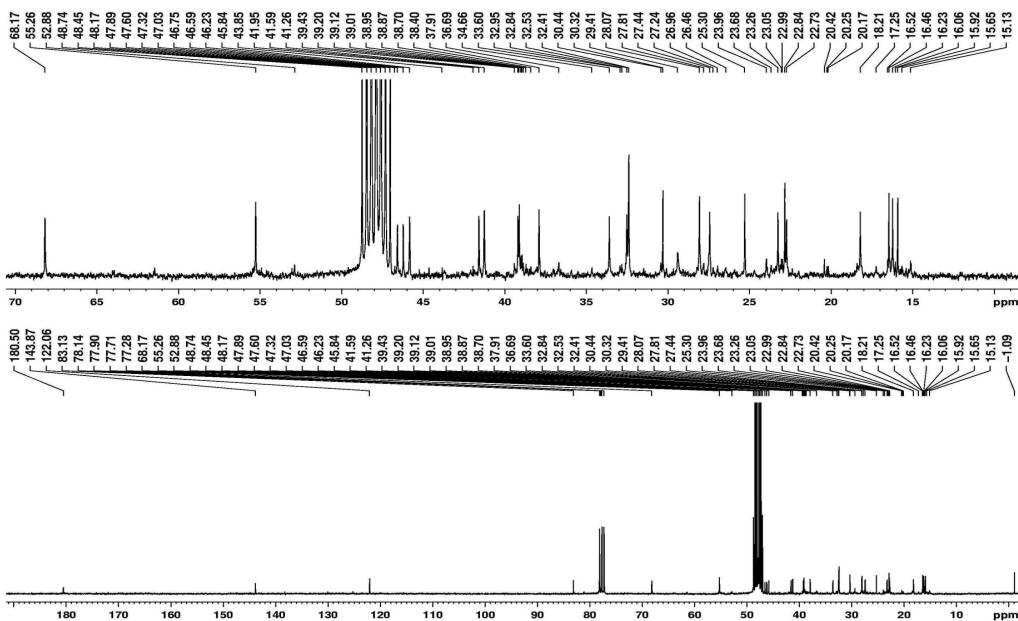


Figura 2S. Espectro de RMN  $^{13}\text{C}$  ( $\text{CD}_3\text{OD}/\text{CDCl}_3$ , 75 MHz) do composto 1 (ácido maslínico)

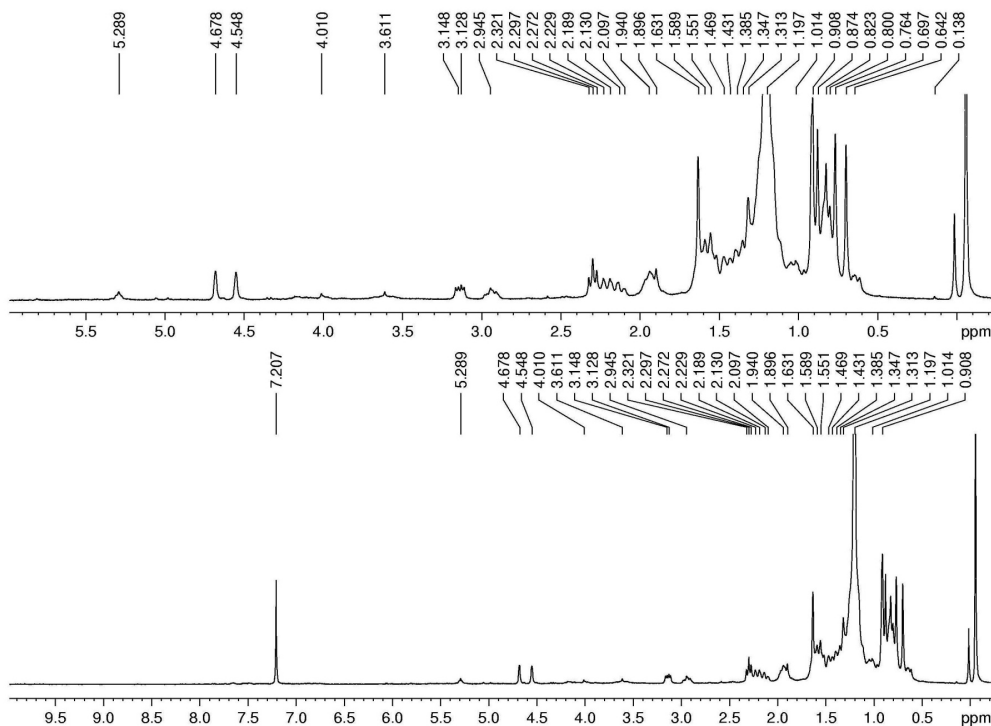


Figura 3S. Espectro de RMN  $^1\text{H}$  ( $\text{CDCl}_3$ , 300 MHz) do composto 2 (ácido betulínico)

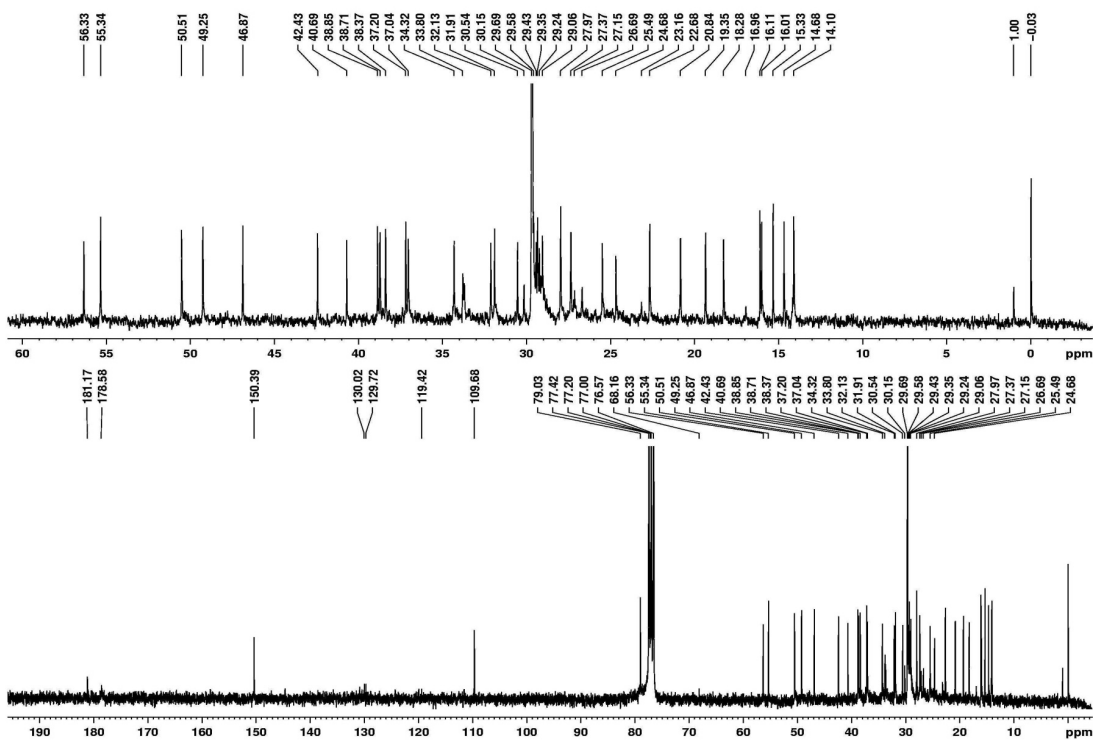


Figura 4S. Espectro de RMN  $^{13}\text{C}$  ( $\text{CDCl}_3$ , 75 MHz) do composto 2 (ácido betulínico)

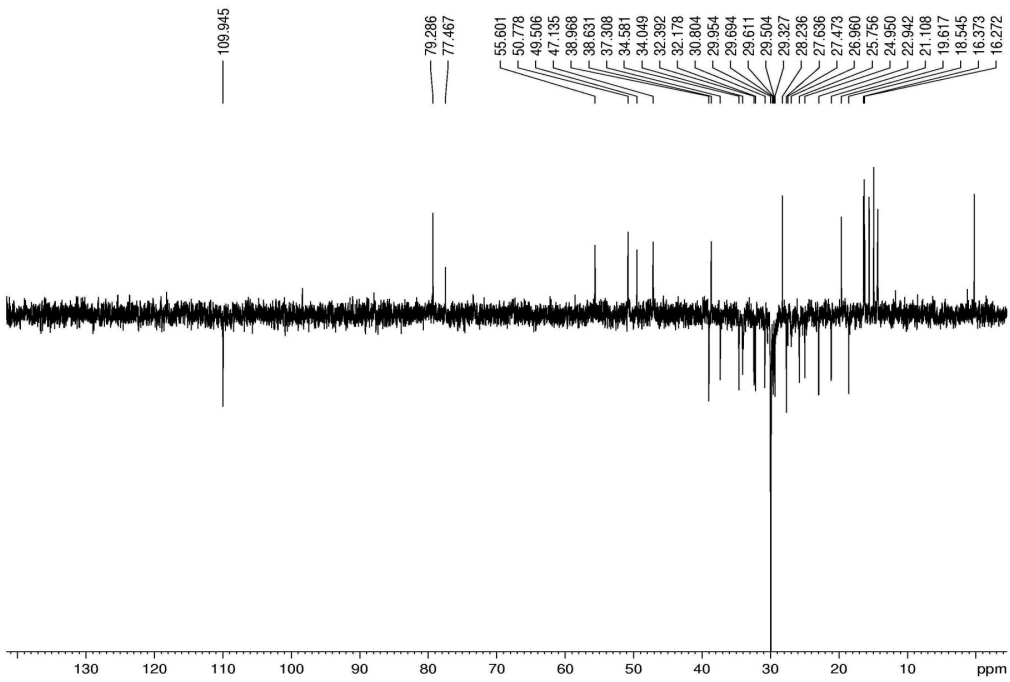


Figura 5S. Experimento DEPT 135° (CDCl<sub>3</sub>, 75 MHz) do composto 2 (ácido betulínico)

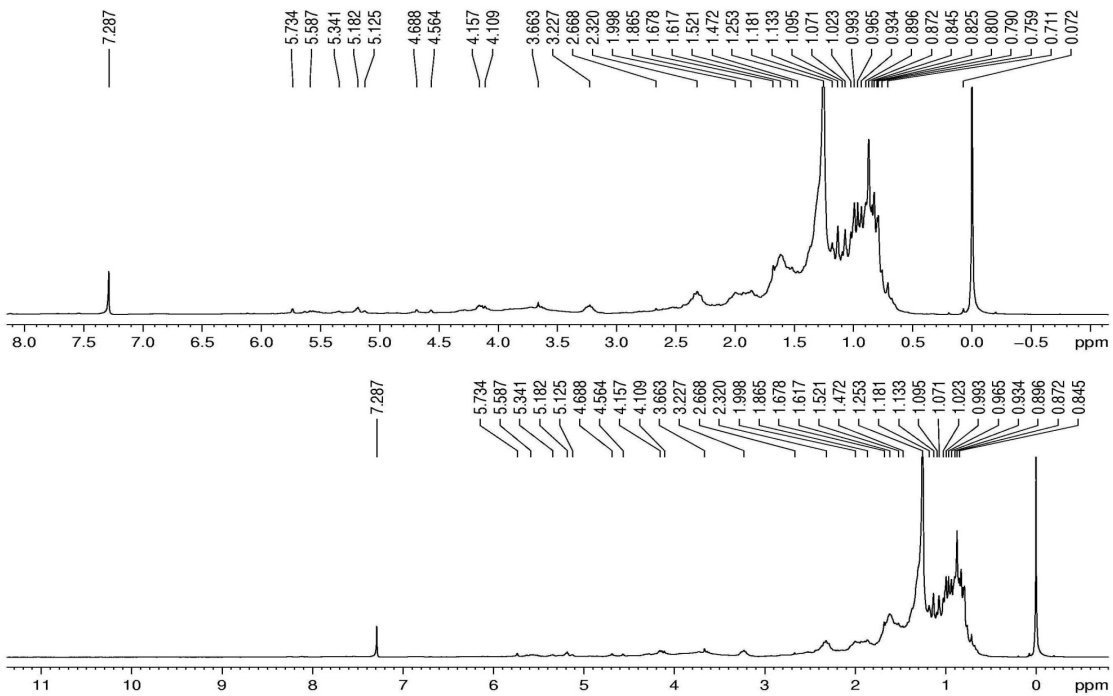


Figura 6S. Espectro de RMN <sup>1</sup>H (CDCl<sub>3</sub>, 300 MHz) do composto 3 (3-oxo-β-amirina)

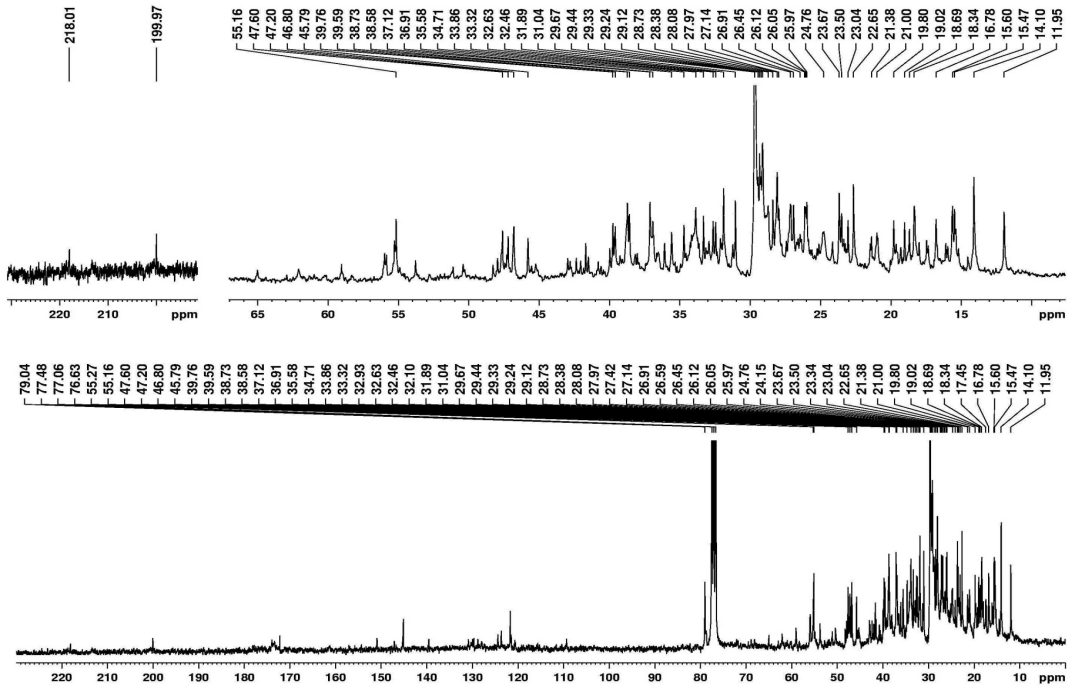


Figura 7S. Espectro de RMN  $^{13}\text{C}$  ( $\text{CDCl}_3$ , 75 MHz) do composto 3 (3-oxo- $\beta$ -amirina)

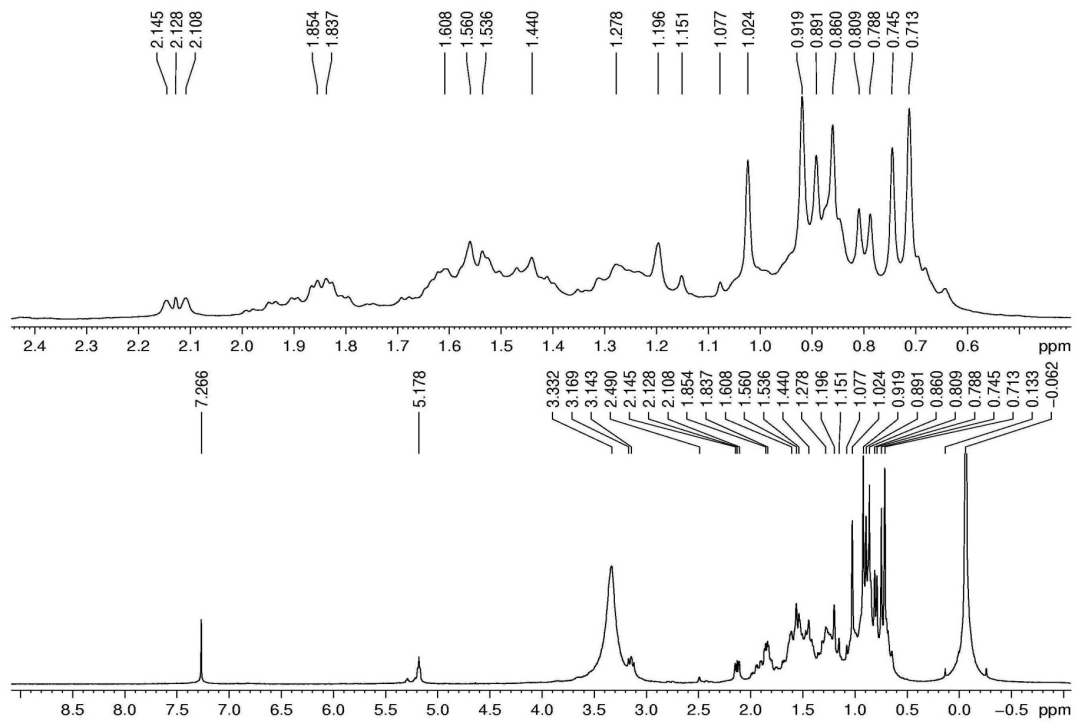


Figura 8S. Espectro de RMN  $^1\text{H}$  ( $\text{CDCl}_3$ , 300 MHz) do composto 4 (ácido ursólico)

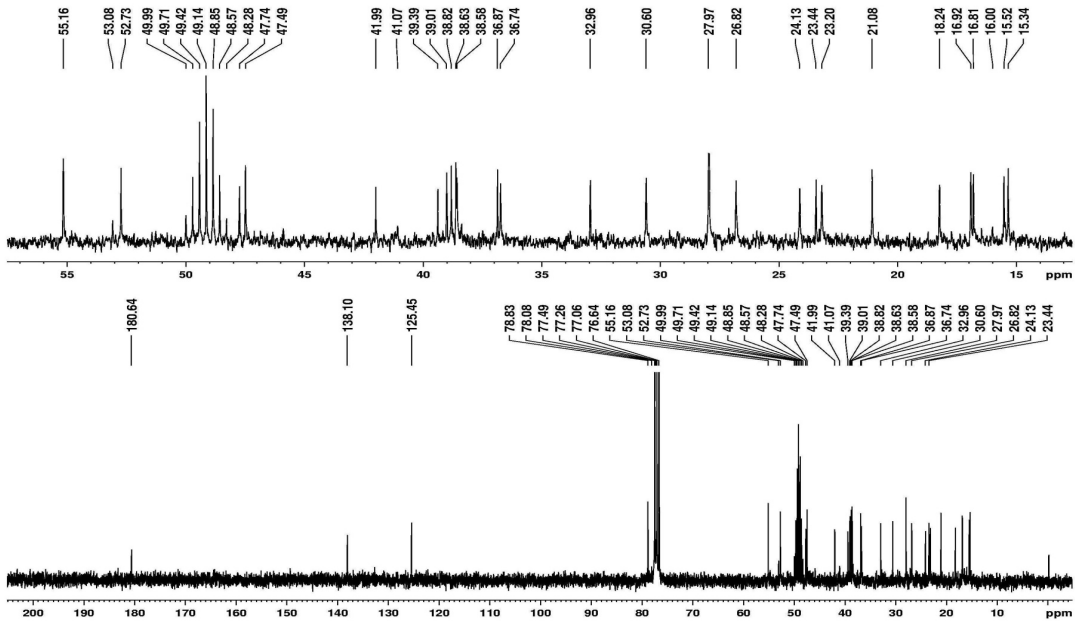


Figura 9S. Espectro de RMN  $^{13}\text{C}$  ( $\text{CDCl}_3$ , 75 MHz) do composto 4 (ácido ursólico)

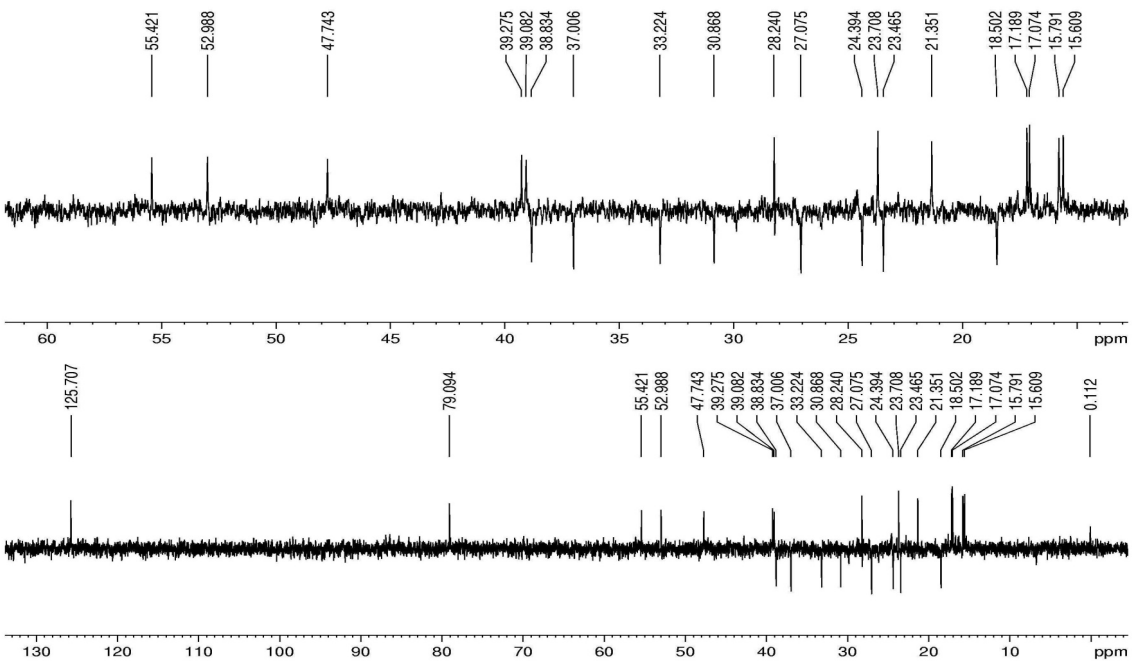


Figura 10S. Experimento DEPT  $135^\circ$  ( $\text{CDCl}_3$ , 75 MHz) do composto 4 (ácido ursólico)



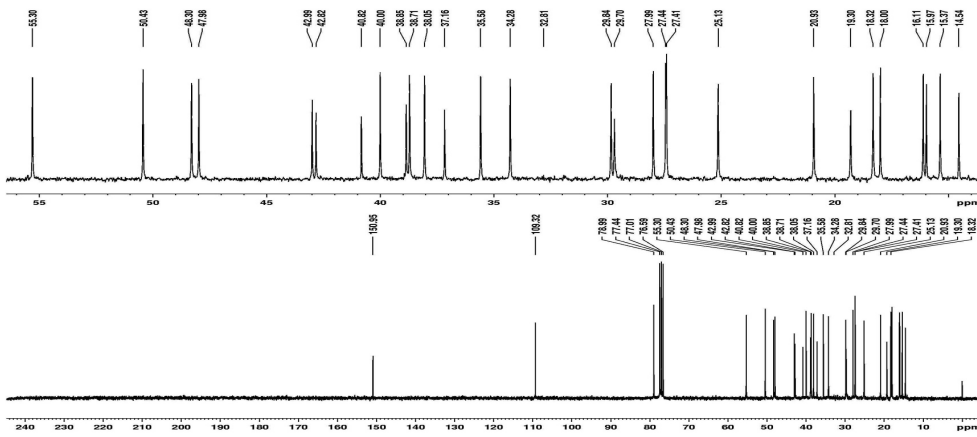


Figura 14S. Espectro de RMN  $^{13}\text{C}$  ( $\text{CDCl}_3$ , 75 MHz) do composto **6** (lupeol)

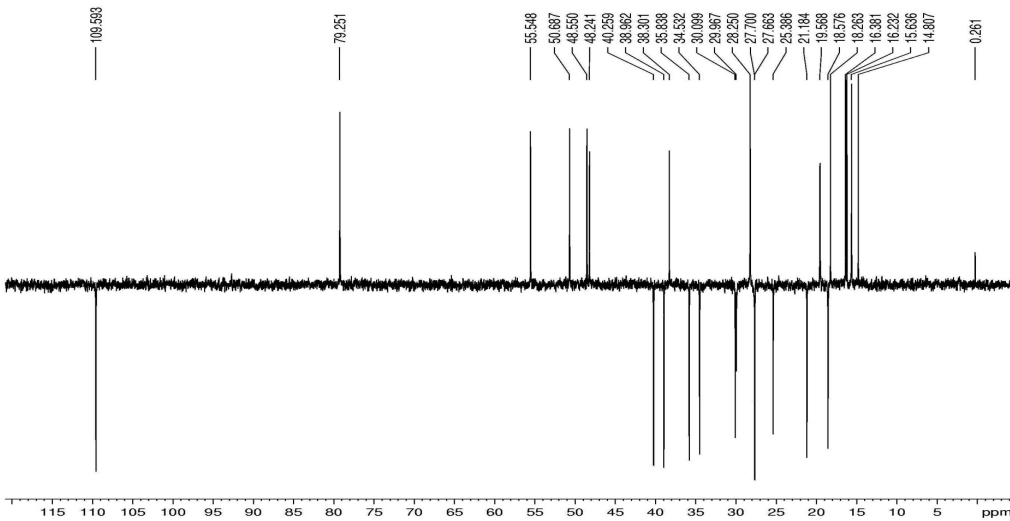


Figura 15S. Experimento DEPT  $135^\circ$  ( $\text{CDCl}_3$ , 75 MHz) do composto **6** (lupeol)

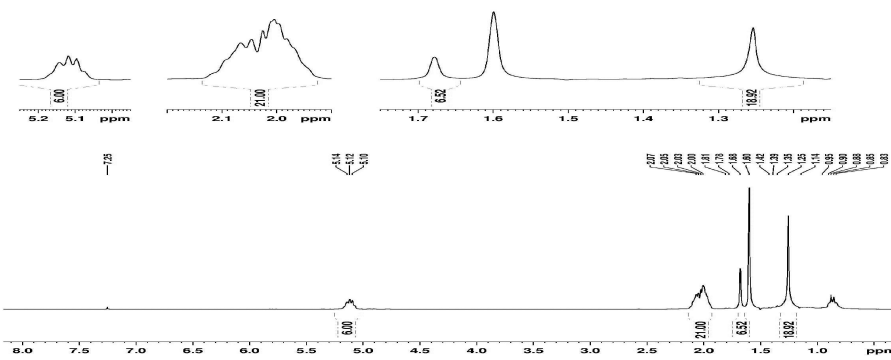


Figura 16S. Espectro de RMN  $^1\text{H}$  ( $\text{CDCl}_3$ , 300 MHz) do composto **7** (esqualeno)

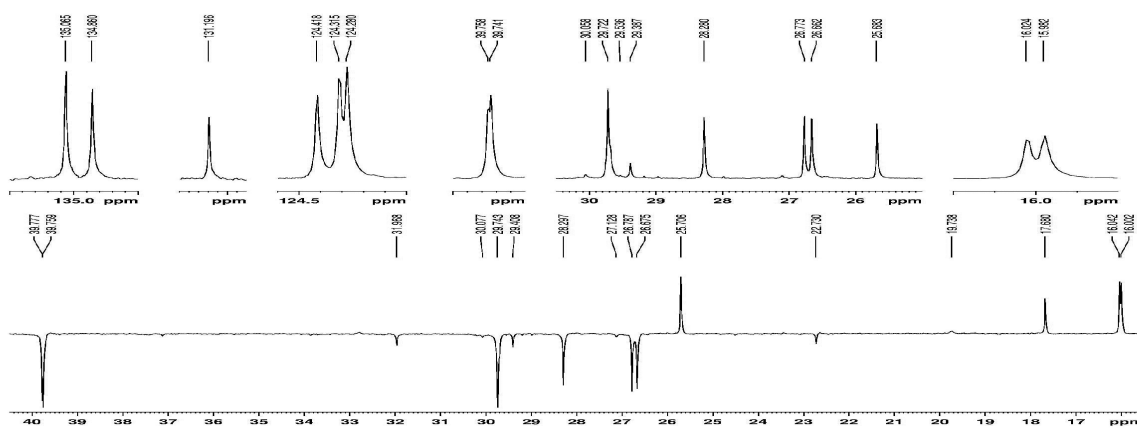


Figura 17S. Espectro de RMN <sup>13</sup>C (CDCl<sub>3</sub>, 75 MHz) do composto 7 (esqualeno)

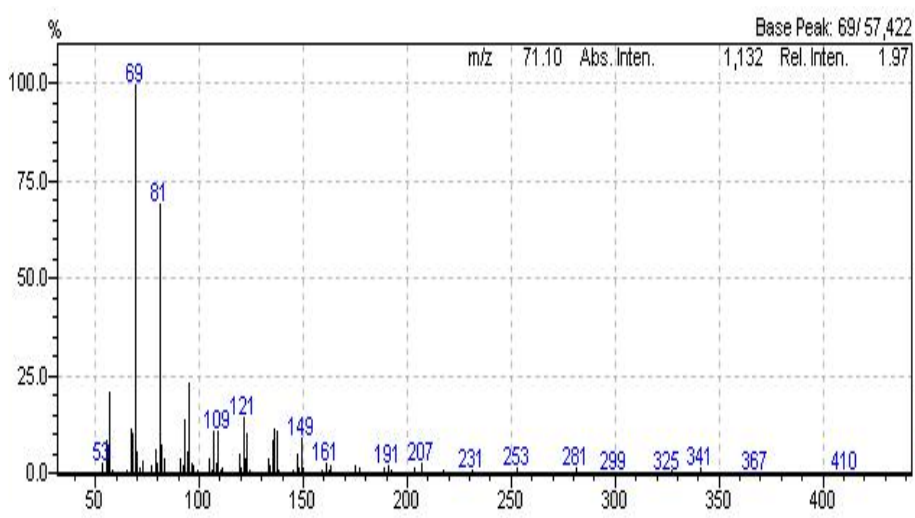


Figura 18S. Espectro de massas do composto 7 (esqualeno)

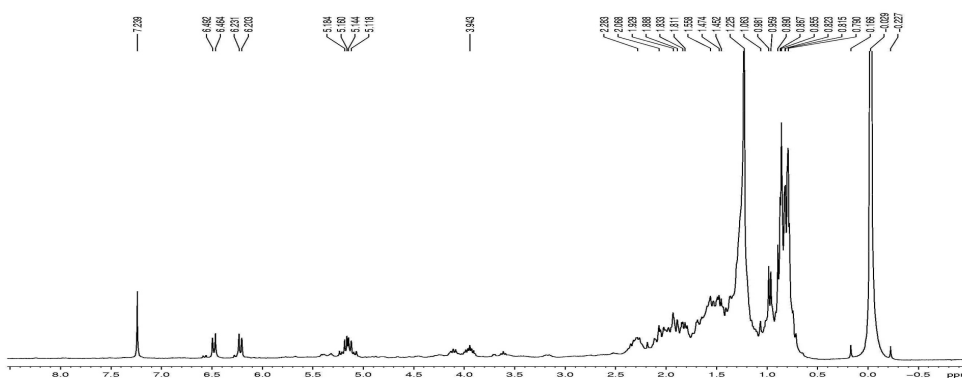


Figura 19S. Espectro de RMN <sup>1</sup>H (CDCl<sub>3</sub>, 300 MHz) do composto 8 (peróxido de ergosterol)



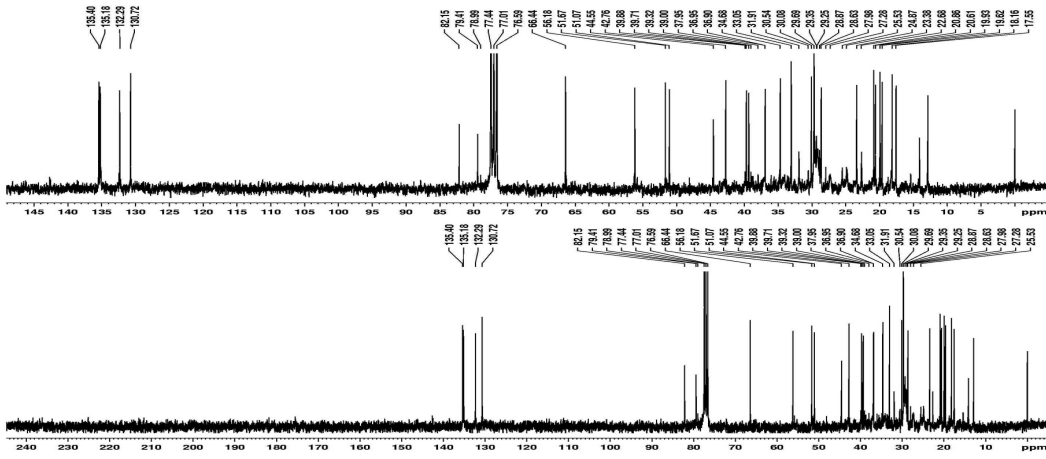


Figura 20S. Espectro de RMN  $^{13}\text{C}$  ( $\text{CDCl}_3$ , 75 MHz) do composto **8** (peróxido de ergosterol)

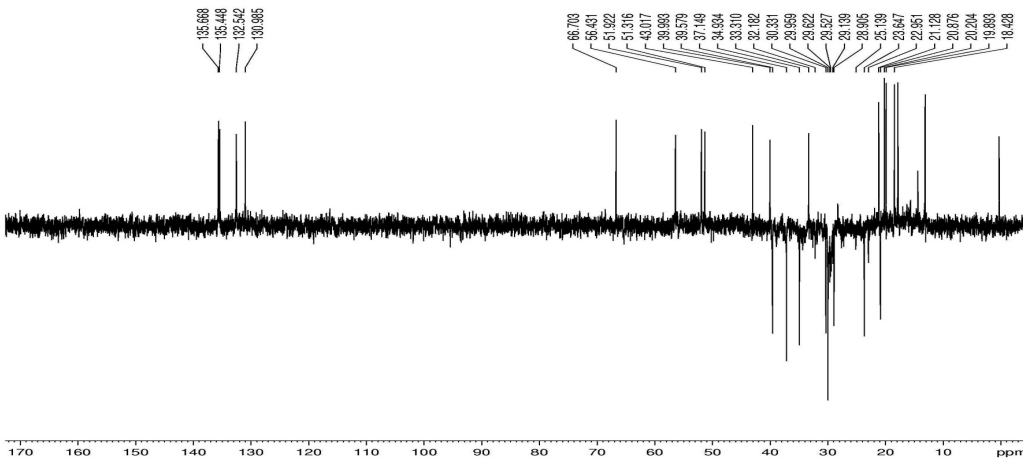


Figura 21S. Experimento DEPT  $135^\circ$  ( $\text{CDCl}_3$ , 75 MHz) do composto **8** (peróxido de ergosterol)

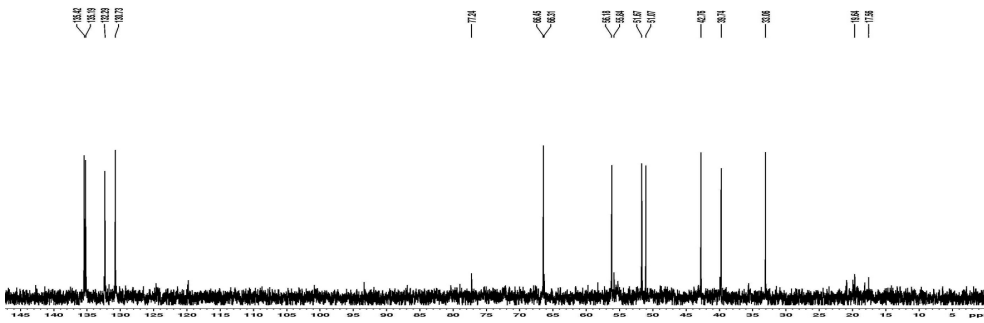


Figura 22S. Experimento DEPT  $90^\circ$  ( $\text{CDCl}_3$ , 75 MHz) do composto **8** (peróxido de ergosterol)

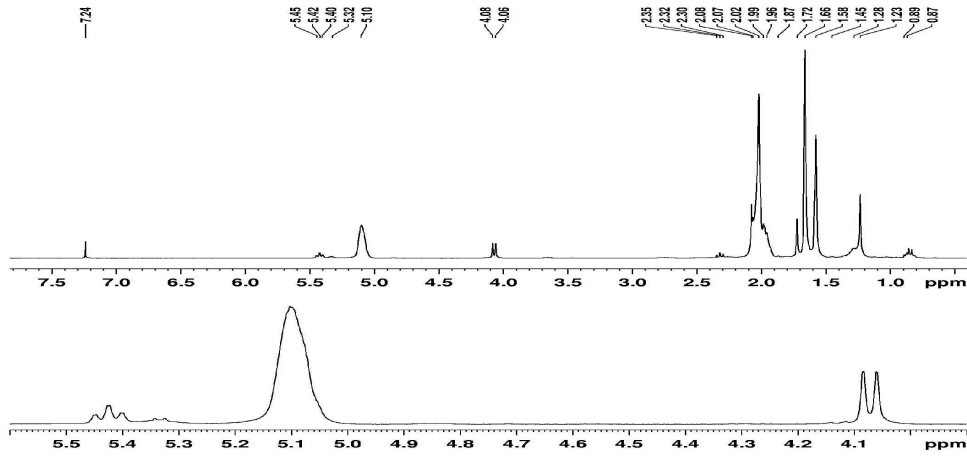
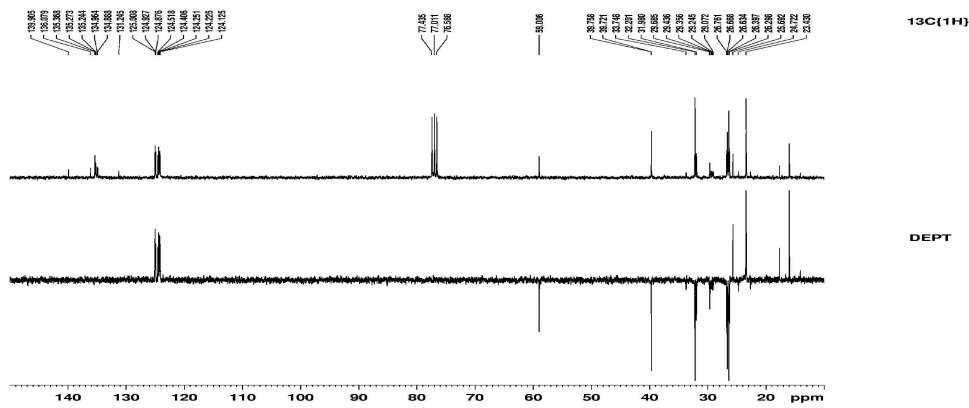


Figura 23S. Espectro de RMN  $^1\text{H}$  ( $\text{CDCl}_3$ , 300 MHz) do composto **9** (ficaprenol-12)



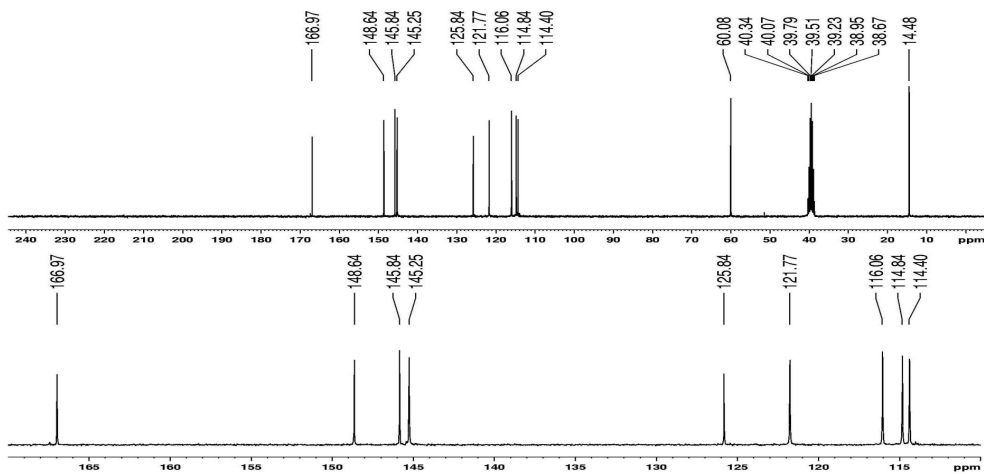


Figura 26S. Espectro de RMN  $^{13}\text{C}$  (DMSO- $\text{d}_6$ , 75 MHz) do composto **10** (cafeato de etila)

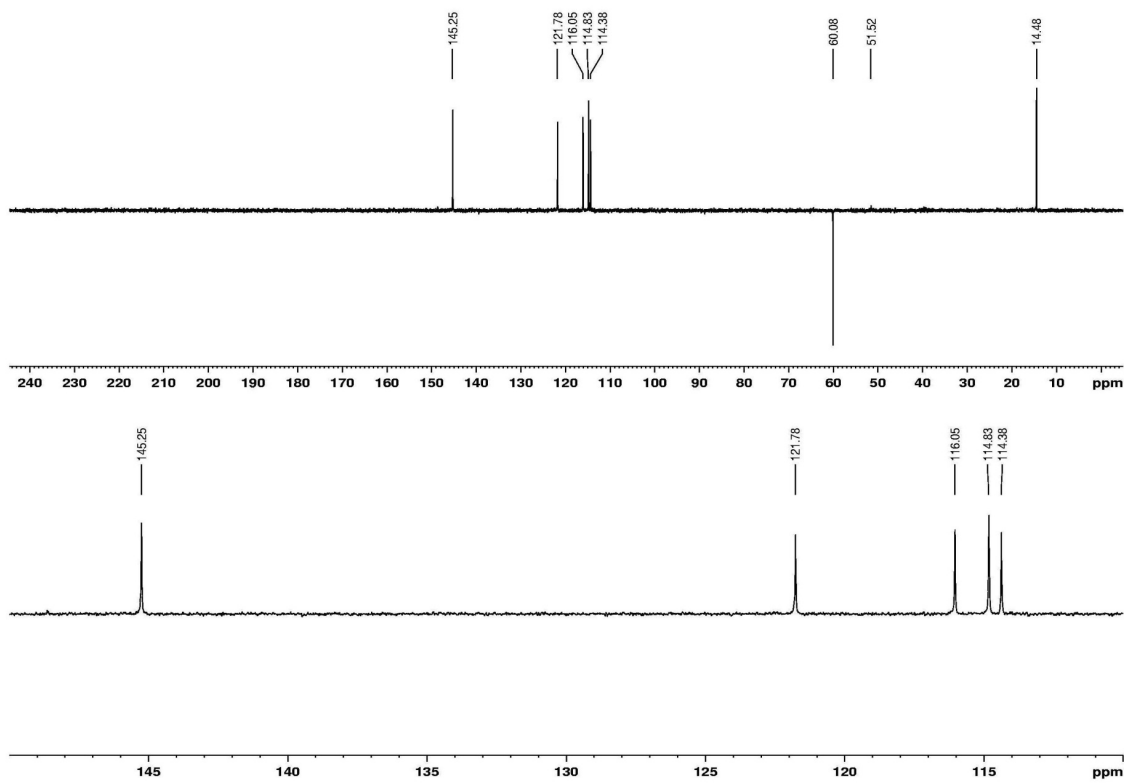


Figura 27S. Experimento DEPT 135 (DMSO- $\text{d}_6$ , 75 MHz) do composto **10** (cafeato de etila)